

岐阜大学工学部 正員 増田重臣

〃 木村 弘

〃 山本利繁

I. 考え方

流砂現象は常に複雑な要素に支配され、その流動状況を適確に表現することはかなり困難な問題である。特に自然河川では種々雜多な混合砂から成ることからその解明を一段とむずかしくしている。従来混合砂に対する球と板定式で砂粒の大きさの相異のみ重視され、その形状についてはあまり考慮が配されていない。そこで筆者は砂粒子の形状のある条件下ではその流動にかなりの影響をもつと考え、まず形状の異なる单一粒子を取り上げ若干の実験と考察を試みた。

2. 砂粒子形状の転動速度に及ぼす影響

形状の異なる数種の砂粒子模型をつくりその転動速度をストップウォッチで測定した。測定距離は50cmである。模型の比重はすべて同一とし1.12、その換算径は1.50cmである。その他特性はTable Iに示す。実験水路は10×30×300cmの両面ガラス張り鋼製開水路である。

砂粒子の転動状況を無次元表示すれば

$$f_1(V/\sqrt{gH}, V_d/V, \phi/V, d/4, P_2/P_1, \psi, P) = 0$$

ここで V : 流体の平均流速, y : 水深, H : 流体の比重, P_1 : 流体の密度, μ : 流体の粘性係数, ϕ : 粒子の換算径, P_2 : 粒子密度, V_d : 粒子転動速度, ψ : 形状係数, P : せん率である。水深、粒子密度、粒子の体積を一定とすれば二次的要素とし省略すると結局、

転動速度比 ψ/V は $V_d/V = P_2 \cdot \psi$

$$(\psi/V) = f_2(Fr, \phi)$$

となる。すなわち転動速度とフルード数との関係を示すのがFig-1である。球はすべてを通じて一番大きい速度をもつことは当然であるが、形状係数の小さい粒子については比較的低いフルード数では、その転動速度は球の場合の半分以下となり、流速が大きくなるにつれ速度を高

Table I

Form	Symbol	Shape Factor	Coeff. resistance	Shear Velocity (cm/sec.)
Sphere	$S \odot$	0.950	0.242	0.387
Roller 1	$R1 \oplus$	0.521	0.499	0.514
	$R2 \ominus$	0.720	0.441	0.471
	$R3 \times$	0.800	0.359	0.301
Disk 1	$D1 \odot$	0.359	0.964	0.555
	$D2 \ominus$	0.524	0.426	—
	$D3 \times$	0.760	0.405	0.355
Blade 1	$B1 \odot$	0.357	0.884	0.660
	$B2 \oplus$	0.548	0.598	0.487
	$B3 \ominus$	0.641	0.463	0.360
Brick	$b \odot$	0.746	0.367	0.323

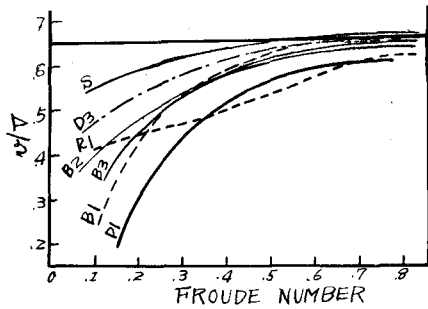


Fig-1

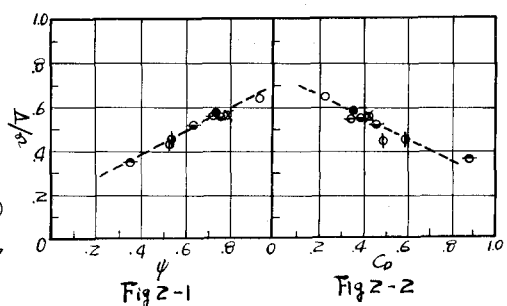


Fig Z-1

Fig Z-2

激に増加してほぼ $Fr = 0.8 \sim 0.9$ で他の粒子と同じ速度となる。すなわち形状の転動に及ぼす効果がなくなる。(しかしこの Fr の値も粒子の比重が違う異なり)。

次に Corey の提案した形狀係数 (Shape Factor) $\psi = c/\sqrt{ab}$ (a, b および c はそれを互いに直交する三軸方向の砂樣の大きさをその大きさの順に表す) が粒子の運動をいかに表現しているか見よう。Fig. 1 によれば R_1, D_1, B_3 および D_1, b 等比較的形狀係数の同じものがその転動速度に相当の差があるように見えるのが形狀係数と転動速度は Fig. 2 に示すようにかなりの相関性がある。すなわち三軸長の測定による形狀の幾何的表現が粒子の転動に対するその水理特性をよく表現していると考えられる。Fig. 3 は沈降速度より求めた抵抗係数 C_d と転動速度の関係を示すものでこの場合もほぼ満足できる結果である。軸長測定の困難を考慮するとこの実験条件の範囲内においては抵抗係数も形狀指標として妥当なものと言えよう。

3. 形状の異なる粒子の限界掃流力について

前節で述べたように低フルード数の場合、特に粒子の形狀係数の小ささと転動速度は著しく異なり。それゆえその限界掃流力につきもかなりの差異があるのではないかと推定される。従来砂の限界掃流力を論じる際、砂は球として扱われた場合が多く、形狀を考慮した始動時状態についてはまだ不明・未だ少くない。ここでは転動速度から求めた限界掃流力について述べる。横軸に粒子の転動速度 U_s 、縦軸に流速の対数分布則がなり立つて計算した半立速度 U_{cd}/ν をとり各点をプロットするだけが一直線上に並ぶ。(Fig. 3-1, 3-2)

ここで $\nu = 0.01$ ときの U_s を一开始動時の半立速度と考えることとする。Fig. 3-1 で求めた限界掃流力を土屋博士の滑面水路床上の掃流力に関する無次元表示の曲線とそぞく Fig. 4 である。球は球と仮定した場合の理論曲線上にあり、形狀係数が小さくなるにつれ、理論曲線からはずれが大きくなっている。反面 R_1, B_1 および B_2 のごとく比較的形狀係数の小さいものがよく曲線に合致している。このことは半立角測定上の誤差、あるいは実験では粒子はほとんど床面上で転動し、跳躍するものはわずかであることを示す。考えれば粒子のまろみの多少にも大きく影響を受ける。半立上記の方法により限界掃流力を求めた場合には、流速が増すにつれ各粒子の転動速度の差が小さくなること、すなわちにはに対するの直線性や、比重のちがいによる粒子の液体への追随性などを考慮しなければならず。これら少數のデータからは即断いかねる。今後広範な実験を行なってこれらの点を明らかにしていきを考える。

参考文献

土屋義人：滑面水路床の下流端における沈降限界 土木学会論文集 第80号 (昭37)

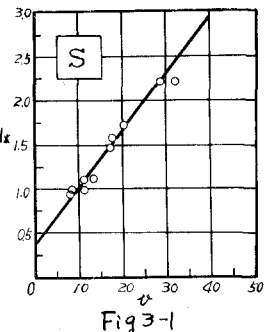


Fig. 3-1

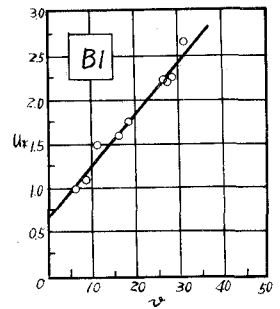


Fig. 3-2

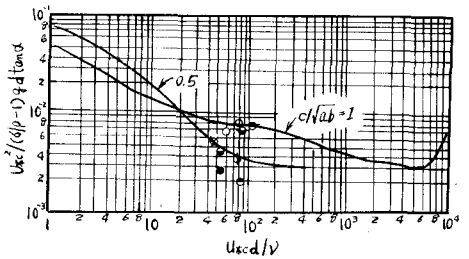


Fig. 4